# Elettromagnetismo

Prof. Francesco Ragusa Università degli Studi di Milano

Lezione n. 28 - 30.03.2023

Trasformazione dei campi E e B Invarianti del Campo Barretta conduttrice in moto Induzione elettromagnetica

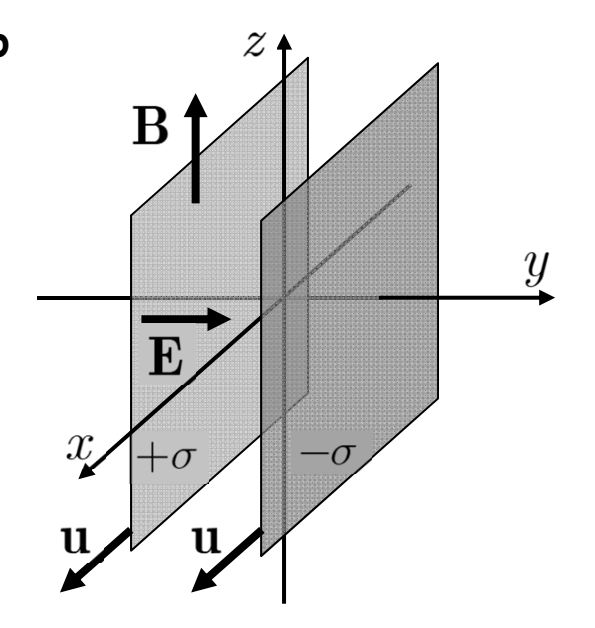
Anno Accademico 2022/2023

- ullet Per trovare le leggi di trasformazioni di B procediamo in modo analogo a quanto fatto per il campo elettrico
  - $\bullet$  Consideriamo due piani infiniti di carica paralleli al piano  $z\!-\!x$
  - ullet I piani si muovono con velocità  ${f u}$  lungo l'asse x nel sistema S
  - ullet Nel sistema S la loro densità di carica è  $\pm \sigma$ 
    - Nel sistema in cui i piani sono a riposo la loro densità di carica è minore ed è  $\sigma_0=\sigma/\gamma_u$
- ullet Calcoliamo il campo elettrico E e il campo di induzione magnetica B nel sistema S
  - Il campo elettrico fra i piani è (ricordiamo che all'esterno è nullo)

$$\mathbf{E} = \frac{\sigma}{\varepsilon_{0}} \hat{\mathbf{e}}_{y}$$

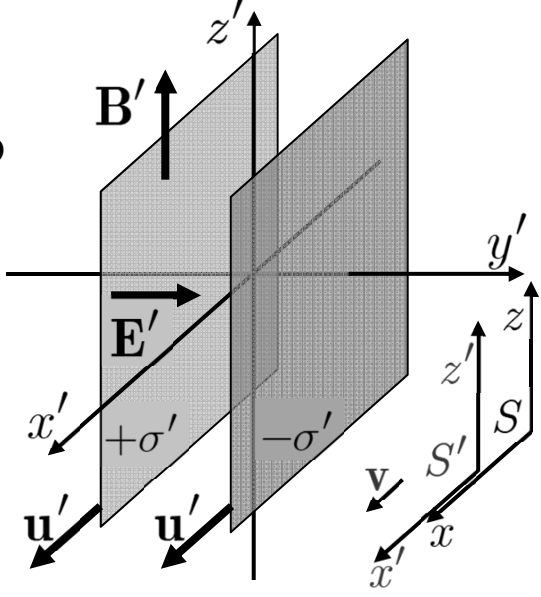
- ullet I piani costituiscono due densità di corrente superficiale  $K=\pm\sigma u$ 
  - ullet La densità di corrente genera un campo di induzione magnetica B fra i piani (all'esterno è nullo)

$$\mathbf{B} = \mu_0 \sigma u \hat{\mathbf{e}}_z$$



- ullet Consideriamo adesso un sistema S' che si muove rispetto a S con velocità v lungo l'asse x
  - ullet Per calcolare i campi E' e B' nel sistema S' vediamo innanzitutto come si sono trasformate le sorgenti
- ullet Calcoliamo la velocità  ${f u}'$  dei piani di carica in S'
  - Usiamo la formula della diapositiva 185
    - ullet Scambiamo il ruolo di S e  $S^\prime$  e cambiamo il segno di v

$$\boxed{\mathbf{u}_{\parallel}' = \frac{u_{\parallel} - v}{1 - \mathbf{u} \cdot \mathbf{v} / c^2}} \quad u_x' = \frac{u_x - v}{1 - u_x v / c^2} = c \frac{\beta_u - \beta}{1 - \beta_u \beta}$$



- ullet In S' piani di carica si muovono con velocità  $\mathbf{u}'$  (sempre lungo x)
  - $\bullet$  Calcoliamo  $\gamma_u'=rac{1}{\sqrt{1-(u'\!/c)^2}}$  si può verificare che  $\gamma_u'=\gamma_u\gammaig(1-\beta_uetaig)$
- La densità di carica diventa  $\sigma' = \sigma_0 \gamma_u' = \frac{\sigma \gamma_u'}{\gamma} = \sigma \gamma \left(1 \beta_u \beta\right)$
- E infine la densità di corrente

$$\mathbf{K}' = \sigma' \mathbf{u}' = \sigma \gamma \left( 1 - \beta_u \beta \right) c \frac{\beta_u - \beta}{1 - \beta_u \beta} \hat{\mathbf{e}}_{x'} = \sigma \gamma c \left( \beta_u - \beta \right) \hat{\mathbf{e}}_{x'}$$

• Riassumendo

$$\sigma' = \sigma \gamma \left( 1 - \beta_u \beta \right)$$
  $\mathbf{K}' = \sigma \gamma c \left( \beta_u - \beta \right) \hat{\mathbf{e}}_{x'}$ 

ullet Troviamo infine il campo elettrico  ${
m E}'$  e il campo di induzione magnetica  ${
m B}'$ 

$$\mathbf{E}' = \frac{\sigma'}{\varepsilon_0} \hat{\mathbf{e}}_{y'} = \frac{\sigma}{\varepsilon_0} \gamma \left(1 - \beta_u \beta\right) \hat{\mathbf{e}}_y$$

$$\frac{\sigma}{\varepsilon_0} \gamma = \gamma E_y$$
• Inserendo nella formula per E'
$$\frac{\sigma}{\varepsilon_0} \gamma \beta_u \beta = \frac{\sigma}{\varepsilon_0 c^2} \gamma uv = \mu_0 \sigma \gamma uv = \gamma v B_z$$

• Inserendo nella formula per E'

$$E_y' = \gamma \left( E_y - v B_z \right)$$

ullet Analogamente per  $\mathrm{B}'$ 

$$\mathbf{B}' = \mu_0 K' \,\hat{\mathbf{e}}_{z'} = \mu_0 \sigma \gamma c \left(\beta_{\underline{u}} - \beta\right) \hat{\mathbf{e}}_{\underline{z}} \qquad \mu_0 \sigma \gamma c \beta = \frac{1}{\varepsilon_0 c^2} \sigma \gamma c \beta = \gamma \frac{E_y}{c^2} v$$

$$\mu_0 \sigma \gamma c \beta_{\underline{u}} = \mu_0 \gamma \sigma u = \gamma B_z$$

ullet Inserendo nella formula per  ${
m B}'$ 

$$B_z' = \gamma \left( B_z - \frac{v}{c^2} E_y \right)$$

$$E'_{y} = \gamma E_{y} - \gamma v B_{z} \qquad B'_{z} = \gamma B_{z} - \gamma \frac{v}{c^{2}} E_{y}$$

• Un modo alternativo di scrivere le formule precedenti è

$$(cB'_z) = \gamma(cB_z) - \gamma\beta E_y$$
  $E'_y = -\gamma\beta(cB_z) + \gamma E_y$ 

• È evidente la somiglianza con

$$(ct') = \gamma(ct) - \gamma \beta x$$
  $x' = -\gamma \beta(ct) + \gamma x$ 

- ullet Troviamo adesso la legge di trasformazione di  $B_{y}$ 
  - ullet Disponiamo i piani di carica paralleli al piano  $x\!-\!y$
  - Con un calcolo analogo al precedente otteniamo

$$(cB'_y) = \gamma(cB_y) + \gamma\beta E_z$$
  $E'_z = \gamma\beta(cB_y) + \gamma E_z$ 

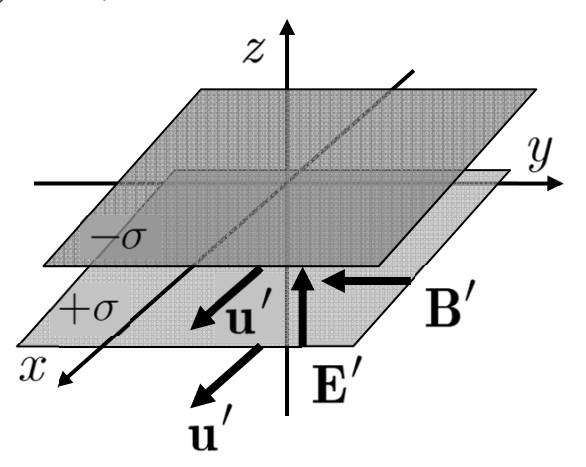
- ullet Notare il segni di  $E_z$  e  $B_y$  rispetto a  $E_y$  e  $B_z$
- Rimane da determinare il comportamento delle componenti dei campi lungo la direzione della velocità



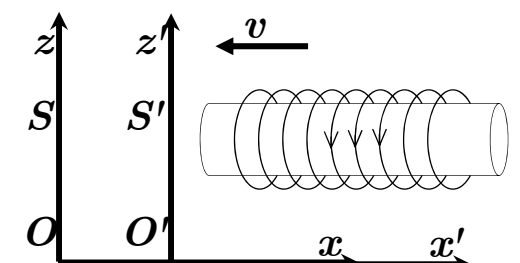
$$E_x' = E_x$$

ullet Dimostriamo che anche per il campo B si ottiene lo stesso risultato

$$B_x' = B_x$$



- Per dimostrare l'ultima legge di trasformazione consideriamo un solenoide a riposo nel sistema S
  - ullet L'asse del solenoide  $\dot{f e}$  diretto lungo l'asse x
    - ullet Sappiamo che il campo  ${f B}$  è diretto lungo x e vale  $B_r = n\mu_0 I$



- ullet Consideriamo adesso il sistema S' che si muove verso sinistra con velocità v
  - Nel sistema S' il solenoide è in moto
    - ullet Il campo  ${f B}$  è comunque diretto lungo x'  $B'_x=n'\mu_{\scriptscriptstyle 0}I'$

$$ullet$$
 Nel sistema  $S'$  le lunghezze sono contratte

$$ullet$$
 Nel sistema  $S'$  i tempi sono dilatati

Otteniamo pertanto

$$B_x' = n' \mu_0 I'$$

$$n' = \gamma n$$

$$I' = \frac{dq}{dt'} = \frac{dq}{\gamma dt} = \frac{I}{\gamma}$$

$$B'_{x} = n'\mu_{0}I' = \gamma n\mu_{0}\frac{I}{\gamma} = n\mu_{0}I = B_{x}$$

ullet Riassumendo, le leggi di trasformazione di  ${f E}$  e  ${f B}$  sono

$$\begin{vmatrix} E'_x = E_x & E'_y = \gamma(E_y - vB_z) & E'_z = \gamma(E_z + vB_y) \\ B'_x = B_x & B'_y = \gamma(B_y + (v/c^2)E_z) & B'_z = \gamma(B_z - (v/c^2)E_y) \end{vmatrix}$$

- È spesso utile una forma vettoriale delle leggi di trasformazione
  - Per una velocità in direzione arbitraria
- ullet Scomponiamo i campi in una componente parallela e in una perpendicolare a  ${f v}$ 
  - ullet v è la velocità del sistema S' rispetto al sistema S

$$egin{aligned} \mathbf{E} &= \mathbf{E}_{\parallel} + \mathbf{E}_{\perp} & \mathbf{E}' &= \mathbf{E}'_{\parallel} + \mathbf{E}'_{\perp} \ \mathbf{B} &= \mathbf{B}_{\parallel} + \mathbf{B}_{\perp} & \mathbf{B}' &= \mathbf{B}'_{\parallel} + \mathbf{B}'_{\perp} \end{aligned}$$

ullet I campi nel sistema S' sono

$$egin{aligned} \mathbf{E}_{\parallel}' &= \mathbf{E}_{\parallel} & \mathbf{E}_{\perp}' &= \gamma (\mathbf{E}_{\perp} + \mathbf{v} imes \mathbf{B}_{\perp}) \ \mathbf{B}_{\parallel}' &= \mathbf{B}_{\parallel} & \mathbf{B}_{\perp}' &= \gamma (\mathbf{B}_{\perp} - rac{1}{c^2} \mathbf{v} imes \mathbf{E}_{\perp}) \end{aligned}$$

• I casi che abbiamo studiato possono facilmente essere verificati ponendo

$$\mathbf{E}_{\parallel} = 0 \quad \mathbf{B}_{\parallel} = 0 \qquad \mathbf{E}_{\perp} = \frac{\sigma}{\varepsilon_{0}} \hat{\mathbf{e}}_{y} \quad \mathbf{B}_{\perp} = \mu_{0} \sigma u \hat{\mathbf{e}}_{z} \quad \mathbf{v} = v \hat{\mathbf{e}}_{x} \quad \frac{1}{\varepsilon_{0} \mu_{0}} = c^{2}$$

- ullet Osserviamo che le trasformazioni dei campi mescolano le componenti di  ${f E}$  e  ${f B}$ 
  - Analogamente a quanto visto per t e r (o per E e p) E e B devono essere le componenti di un'unica grandezza fisica. Lo vedremo fra poco

- Le relazioni che abbiamo trovato permettono di calcolare la relazione fra campo elettrico e magnetico in alcuni casi semplici ma importanti
  - ullet Consideriamo il caso in cui  ${f B}$  sia nullo nel sistema di riferimento S
    - Ad es, il caso che abbiamo visto della carica in moto rettilineo uniforme
    - ullet Attenzione: la velocità della particella  $\dot{f e}$   ${f v}$ , la velocità di S'  $\dot{f e}$  - ${f v}$

$$\mathbf{E}'_{\parallel} = \mathbf{E}_{\parallel} \qquad \mathbf{E}'_{\perp} = \gamma(\mathbf{E}_{\perp} + \mathbf{v} \times \mathbf{B}_{\perp}) \qquad \mathbf{E}'_{\parallel} = \mathbf{E}_{\parallel} \qquad \mathbf{E}'_{\perp} = \gamma\mathbf{E}_{\perp}$$

$$\mathbf{B}'_{\parallel} = \mathbf{B}_{\parallel} \qquad \mathbf{B}'_{\perp} = \gamma(\mathbf{B}_{\perp} - \frac{1}{c^{2}}\mathbf{v} \times \mathbf{E}_{\perp}) \qquad \mathbf{B}'_{\parallel} = 0 \qquad \mathbf{B}'_{\perp} = \gamma \frac{1}{c^{2}}\mathbf{v} \times \mathbf{E}_{\perp}$$

- ullet Dato che  $\mathrm{B'}_{||}=0$  possiamo dire che  $\mathrm{B'}_{\perp}=\mathrm{B'}$
- ullet Inoltre dato che per definizione  ${f v} imes {f E}_{||} = {f 0} \quad {f v} imes \gamma {f E}_{||} = {f v} imes {f E}'_{||} = {f v} imes {f E}'_{||}$
- ullet Pertanto nel sistema S' i campi sono

$$\mathbf{E}'_{\parallel} = \mathbf{E}_{\parallel} \quad \mathbf{E}'_{\perp} = \gamma \mathbf{E}_{\perp} \quad \mathbf{B}' = \frac{1}{a^2} \mathbf{v} \times \mathbf{E}'$$

ullet Analogamente se old E è nullo in S

$$\mathbf{E}'_{\parallel} = 0$$
  $\mathbf{E}'_{\perp} = -\gamma \mathbf{v} \times \mathbf{B}_{\perp}$  Notare che  $\mathbf{B}'_{\parallel} = \mathbf{B}_{\parallel}$   $\mathbf{B}'_{\perp} = \gamma \mathbf{B}_{\perp}$   $\mathbf{E} \cdot \mathbf{B} = \mathbf{E}' \cdot \mathbf{B}' = \mathbf{0}$ 

ullet Pertanto i campi in S' sono

$$\mathbf{B}'_{\parallel} = \mathbf{B}_{\parallel} \qquad \mathbf{B}'_{\perp} = \gamma \mathbf{B}_{\perp} \qquad \mathbf{E}' = -\gamma \mathbf{v} \times \mathbf{B}'$$

Notare che

#### Invarianti del campo

• Si può dimostrare che le seguenti due quantità hanno lo stesso valore in tutti i sistemi di riferimento inerziali

$$\mathbf{E} \cdot \mathbf{B} = \text{inv}$$
  $E^2 - c^2 B^2 = \text{inv}$ 

- Sono due invarianti relativistici
- Conseguenze†
  - Se in un sistema inerziale uno dei due campi è nullo, i due campi saranno ortogonali in ogni altro sistema di riferimento inerziale
  - ullet Se in un sistema inerziale  ${
    m E}{\cdot}{
    m B}=0$  e  $E^2-c^2B^2
    eq 0$  allora
    - ullet  $E^2$   $c^2B^2>0$ 
      - ullet Esiste un sistema di riferimento inerziale in cui  ${f B}=0$
      - La velocità relativa v di questo sistema inerziale è perpendicolare a E e a B e il suo modulo è v=B/E
    - ullet  $E^2$   $c^2B^2<0$ 
      - ullet Esiste un sistema di riferimento inerziale in cui  ${f E}=0$
      - La velocità relativa  ${
        m v}$  di questo sistema inerziale è perpendicolare a  ${
        m E}$  e a  ${
        m B}$  e il suo modulo è  $v=c^2E/B$
  - ullet Se  ${
    m E}\cdot {
    m B}=0$  e  $E^2-c^2B^2=0$  (E=cB) questo vale in tutti i sistemi di riferimento inerziali
    - È un'onda elettromagnetica
- †Vedi ad es. Landau, Lifshitz The Classical Theory of Fields Butterworth-Heinemann 1987, §25 p. 67

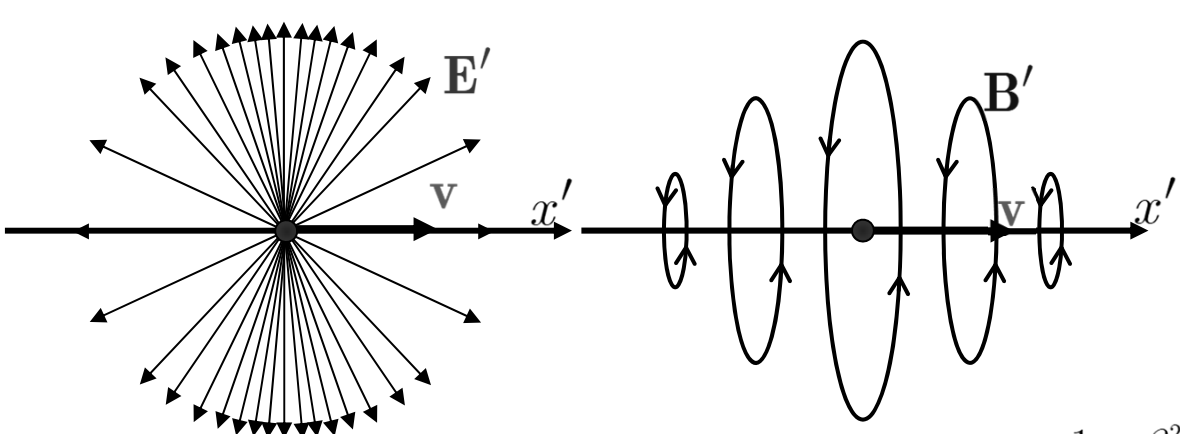
#### Carica in moto rettilineo uniforme

$$\mathbf{E}'_{\parallel} = \mathbf{E}_{\parallel} \qquad \mathbf{E}'_{\perp} = \gamma \mathbf{E}_{\perp} \qquad \qquad \mathbf{B}' = \frac{1}{c^2} \mathbf{v} \times \mathbf{E}' \qquad \qquad \boxed{\mathbf{B} = 0}$$

• Possiamo utilizzare questo risultato per completare il calcolo dei campi per una carica in moto rettilineo uniforme

$$\mathbf{E}' = \frac{1}{4\pi\varepsilon_0} \frac{q}{r'^2} \frac{1 - \beta^2}{\left(1 - \beta^2 \sin^2 \theta'\right)^{\frac{3}{2}}} \hat{\mathbf{r}}' \qquad \mathbf{B}' = \frac{1}{4\pi\varepsilon_0} \frac{q}{r'^2} \frac{1 - \beta^2}{\left(1 - \beta^2 \sin^2 \theta'\right)^{\frac{3}{2}}} \frac{1}{c^2} \mathbf{v} \times \hat{\mathbf{r}}'$$

ullet Le linee di campo di  ${
m B}'$  sono delle circonferenze centrate sulla traiettoria



• Infine calcoliamo il limite per  $eta \ll 1$  di  $\mathbf{B'} \frac{1-eta^2}{\left(1-eta^2\sin^2{\theta'}\right)^{\!\!\!\!\!\!\!\!\!\!\!\!\!\!/_2}} \to 1$ 

$$\mathbf{B'} \rightarrow \frac{1}{4\pi\varepsilon_0c^2}\frac{q}{r'^2}\mathbf{v}\times\hat{\mathbf{r'}} = \frac{\mu_0}{4\pi}\frac{q}{r'^2}\mathbf{v}\times\hat{\mathbf{r'}} \quad \begin{array}{c} \left(1-\beta^2\sin^2\theta'\right)^{\frac{3}{2}} \\ \text{Confrontare con la legge di Biot-Savart} \\ q\mathbf{v} = id\mathbf{l} & 1/\varepsilon_0c^2 = \mu_0 \end{array}$$

$$q\mathbf{v}=id\mathbf{l}$$
  $1/arepsilon_0c^2=\mu_0$ 

$$\begin{vmatrix} E'_x = E_x & E'_y = \gamma(E_y - vB_z) & E'_z = \gamma(E_z + vB_y) \\ B'_x = B_x & B'_y = \gamma(B_y + (v/c^2)E_z) & B'_z = \gamma(B_z - (v/c^2)E_y) \end{vmatrix}$$

- ullet Le formule di trasformazione trovate mostrano che né E né B possono essere visti come la componente spaziale di un quadri-vettore
  - ullet Le leggi di trasformazione mescolano le componenti di  ${f E}$  e  ${f B}$
- ullet Nel caso dei quadri-vettori avevamo 4 componenti che nel passaggio da un sistema S a un sistema S' si trasformano con la legge

$$x'^{\mu} = \Lambda^{\mu}_{\ \nu} x^{\nu}$$

- Esistono altre grandezze matematiche con un numero maggiore di componenti
  - Ad esempio i tensori
    - Sia tri-dimensionali che quadri-dimensionali
- ullet Un tensore quadri-dimensionale  $\dot{ullet}$  una grandezza che ha  $4{ imes}4=16$  componenti
  - Organizzate con due indici di Lorentz

$$T^{\mu\nu}$$
  $\mu, \nu = 0, 1, 2, 3$ 

• La legge di trasformazione di un tensore è

$$T'^{\mu\nu} = \Lambda^{\mu}_{\alpha} \Lambda^{\nu}_{\beta} T^{\alpha\beta}$$

- I tensori possono avere due importanti proprietà
  - Essere simmetrici:  $T^{\mu\nu}=T^{\nu\mu}$ 
    - Le componenti indipendenti sono n=(16-4)/2+4=10
  - Essere antisimmetrici:  $T^{\mu\nu}=-T^{\nu\mu}$ 
    - ullet Le componenti con indici uguali sono nulle:  $T^{\mu\mu}=0$
    - ullet Le componenti indipendenti sono n=(16-4)/2=6
- Le componenti del campo Elettrico e del campo di Induzione Magnetica sono 6
  - Si verifica che sono le componenti di un tensore antisimmetrico

$$F^{\mu\nu} = \begin{pmatrix} 0 & -E_x/c & -E_y/c & -E_z/c \\ E_x/c & 0 & -B_z & B_y \\ E_y/c & B_z & 0 & -B_x \\ E_z/c & -B_y & B_x & 0 \end{pmatrix} \qquad \qquad \Lambda^{\mu}_{\ \nu} = \begin{pmatrix} \sqrt{-\gamma\beta} & 0 & 0 \\ -\gamma\beta & \gamma & 0 & 0 \\ 0 & 0 & 1 & 0 \\ 0 & 0 & 0 & 1 \end{pmatrix} \qquad \Lambda^{1}_{\ \alpha}$$

$$\Lambda^{\mu}_{\ \nu} = \begin{pmatrix}
\gamma & -\gamma\beta & 0 & 0 \\
-\gamma\beta & \gamma & 0 & 0 \\
0 & 0 & 1 & 0 \\
0 & 0 & 0 & 1
\end{pmatrix}$$

$$\Lambda^{0}_{\ \beta}$$

$$\Lambda^{1}_{\ \alpha}$$

$$F'^{\mu
u} = \Lambda^{\mu}_{\phantom{\mu}lpha} \Lambda^{
u}_{\phantom{
u}eta} F^{lphaeta}$$

ullet Verifichiamo la legge di trasformazione di  ${E'}_x$ 

 $F'^{\mu
u}=\Lambda^{\mu}_{\phantom{\mu}lpha}\Lambda^{
u}_{\phantom{
u}eta}F^{lphaeta}$  Attenzione Griffiths usa una convenzione diversa

$$\begin{split} E_x'\!\!\left/c &= F'^{10} = \Lambda^1_{~\alpha} \Lambda^0_{~\beta} F^{\alpha\beta} = \Lambda^1_{~0} \Lambda^0_{~\rho} \mathsf{X}^{00} + \Lambda^1_{~1} \Lambda^0_{~0} F^{10} + \Lambda^1_{~0} \Lambda^0_{~1} F^{01} + \Lambda^1_{~1} \Lambda^0_{~\rho} \mathsf{X}^{11} \right. \\ &= \gamma \gamma \left(E_x\!\!\left/c\right) + \left(-\gamma\beta\right) \! \left(-\gamma\beta\right) \! \left(-F_x\!\!\right) \!\! \left(-F_x\!\!\right) \!\!$$

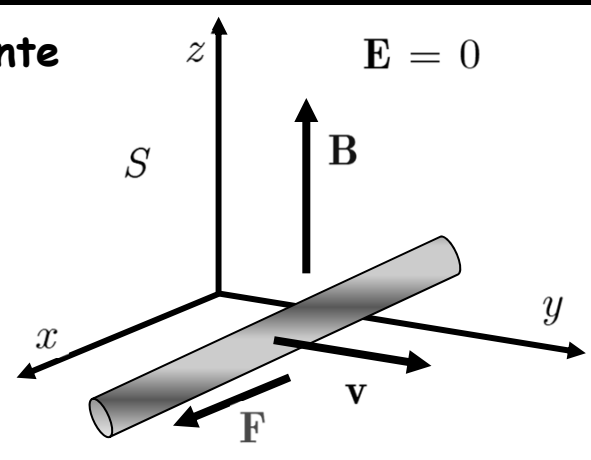
ullet Calcoliamo adesso la componente  ${E'}_y$ 

$$E_y' / c = F'^{20} = \Lambda^2_{\alpha} \Lambda^0_{\beta} F^{\alpha\beta} = \Lambda^2_{2} \Lambda^0_{\beta} F^{2\beta} = \Lambda^2_{2} \Lambda^0_{0} F^{20} + \Lambda^2_{2} \Lambda^0_{1} F^{21}$$

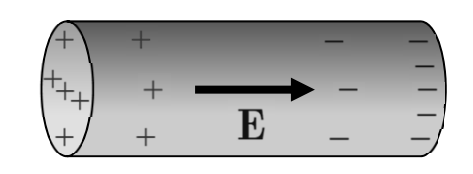
$$= \gamma E_y / c - \gamma \beta B_z$$

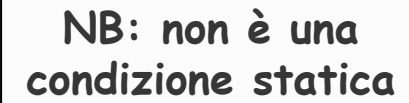
 La formula tensoriale riproduce le leggi di trasformazione che avevamo trovato

- ullet Consideriamo una regione dello spazio in cui  $\dot{ullet}$  presente un campo magnetico B, diretto lungo l'asse z
  - ullet Utilizziamo un sistema inerziale S
  - ullet Il campo B è uniforme e non varia nel tempo
  - Non ci sono campi elettrici
- ullet Consideriamo adesso una barretta conduttrice orientata parallelamente all'asse x
  - ullet La barretta si muove con velocità costante v diretta lungo l'asse y
- Poiché si tratta di un conduttore al suo interno ci sono portatori di carica che possono muoversi
  - Tutte le cariche della barretta hanno una velocità v
  - Appare una forza di Lorentz
    - ullet La forza è diretta nel senso positivo delle x per le cariche positive
- Sotto l'azione della forza le cariche si muovono
  - Tuttavia si giunge presto ad una condizione stazionaria
  - ullet Le cariche spostandosi generano un campo elettrico  ${f E}$ 
    - ullet In ogni punto all'interno della barretta la forza di Lorentz è bilanciata dalla forza elettrica  $q{
      m E}$



$$\mathbf{F} = q\mathbf{v} \times \mathbf{B}$$





$$\mathbf{F} = -q\mathbf{E}$$

$$\mathbf{E} = -\mathbf{v} \times \mathbf{B}$$

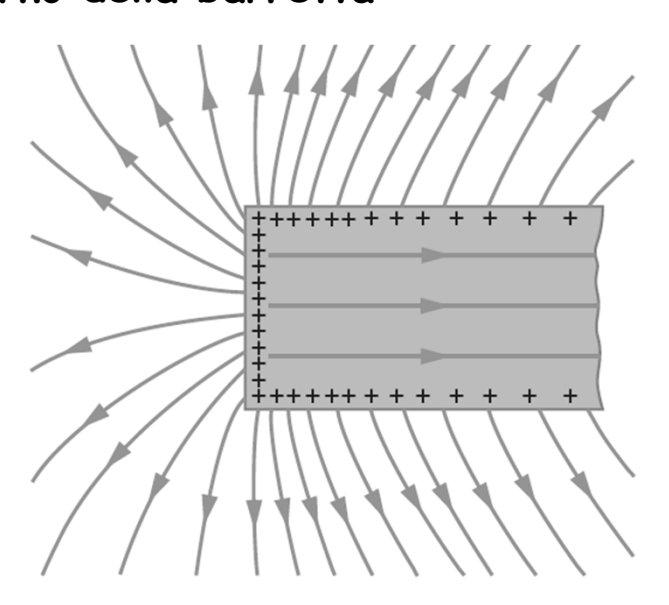
- Le cariche elettriche si distribuiscono sulla superficie della barretta in modo da generare all'interno un campo elettrico uniforme
  - La forza di Lorentz è uniforme dentro la barretta

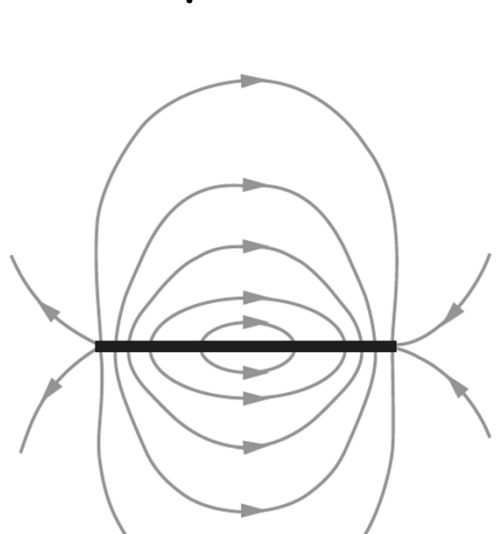
$$\mathbf{F}_{\mathbf{m}} = q\mathbf{v} \times \mathbf{B}$$



$$\mathbf{F}_{\mathrm{e}} = -q\mathbf{E} = -q\mathbf{v} \times \mathbf{B}$$



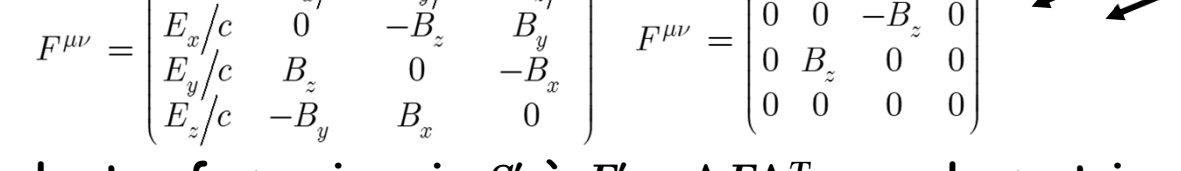




 $q\mathbf{E}$ 

 $\mathbf{F}_{\mathrm{m}}$ 

- Esaminiamo adesso il fenomeno descritto nel sistema inerziale S' in cui la barretta conduttrice è a riposo
  - In questo sistema il campo magnetico è differente
  - Appare anche un campo elettrico
- Ricordiamo il tensore campo elettromagnetico
- In S  $F^{\mu\nu} = \begin{pmatrix} 0 & -E_x/c & -E_y/c & -E_z/c \\ E_x/c & 0 & -B_z & B_y \\ E_y/c & B_z & 0 & -B_x \\ E_z/c & -B_y & B_x & 0 \end{pmatrix} F^{\mu\nu} = \begin{pmatrix} 0 & 0 & 0 & 0 \\ 0 & 0 & -B_z & 0 \\ 0 & B_z & 0 & 0 \\ 0 & 0 & 0 & 0 \end{pmatrix}$  La trasformazione in S' è  $F' = \Lambda F \Lambda^T$ La matrice  $\Lambda$  è  $\Lambda^{\mu}_{\nu} = \begin{pmatrix} \gamma & 0 & -\gamma\beta & 0 \\ 0 & 1 & 0 & 0 \\ -\gamma\beta & 0 & \gamma & 0 \\ 0 & 0 & 0 & 1 \end{pmatrix}$



$$\Lambda F \Lambda = \begin{pmatrix} 0 & -\gamma \beta B_z & 0 & 0 \\ \gamma \beta B_z & 0 & -\gamma B_z & 0 \\ 0 & \gamma B_z & 0 & 0 \\ 0 & 0 & 0 & 0 \end{pmatrix}$$

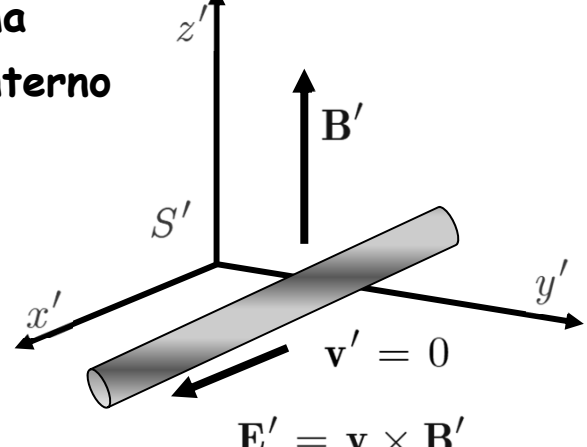
ullet Nel sistema S' il campo magnetico B' è ancora diretto lungo l'asse z' ed è diventato più intenso per il fattore relativistico  $\gamma$ 

$$\mathbf{B}' = \gamma \mathbf{B}$$

ullet E comparso un campo elettrico  $\mathbf{E}'$  diretto lungo l'asse x'

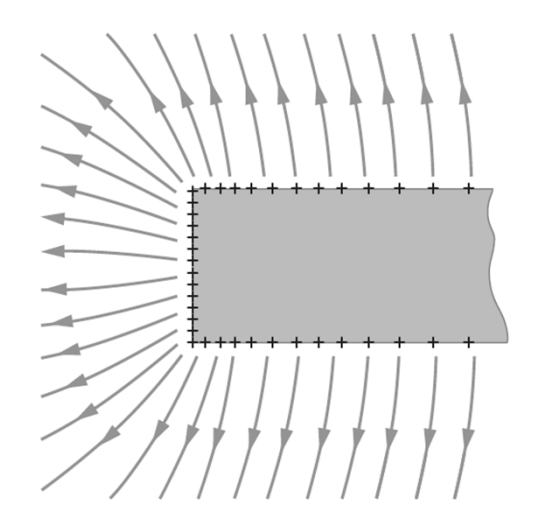
$$\frac{\mathbf{E}'}{c} = \gamma \beta B_z \hat{\mathbf{e}}_{x'} \qquad \qquad \mathbf{E}' = \mathbf{v} \times \mathbf{B}'$$

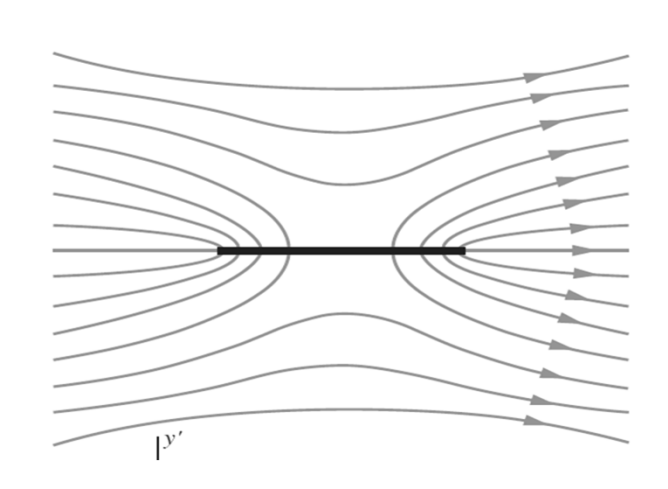
- ullet Interpretiamo quello che succede nella barretta conduttrice nel sistema S'
  - ullet C'è un campo magnetico B' ma la barretta è ferma
    - Non ci sono forze magnetiche sulle cariche all'interno
  - ullet Nel sistema S' è presente un campo elettrico  $\mathbf{E}'$ 
    - Le cariche si distribuiscono sulla superficie del conduttore in modo da annullare il campo elettrico al suo interno
      - Come abbiamo studiato in elettrostatica
      - $\bullet$  In S' la situazione è statica



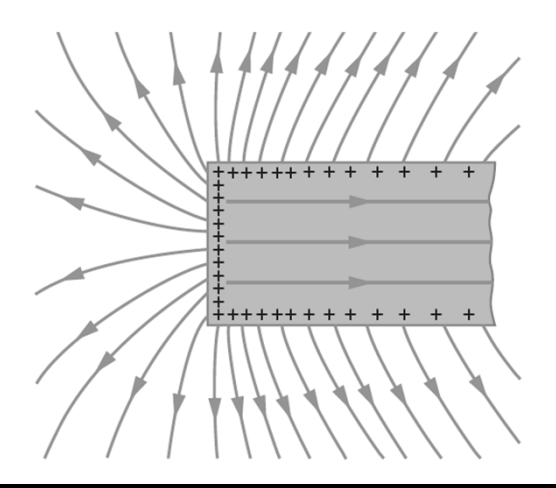
- Riepiloghiamo le due interpretazioni
  - ullet Nel sistema S la barretta si muove e dentro la barretta c'è una forza magnetica che causa una redistribuzione della carica sulla superficie
    - La distribuzione di carica genera un campo elettrico che bilancia la forza magnetica
  - ullet Nel sistema S' c'è un campo elettrico  $\mathbf{E}'$ 
    - $\bullet$  La carica si redistribuisce sulla superficie del conduttore e genera un campo elettrico che, sommato a  $E^\prime$ , annulla il campo all'interno del conduttore

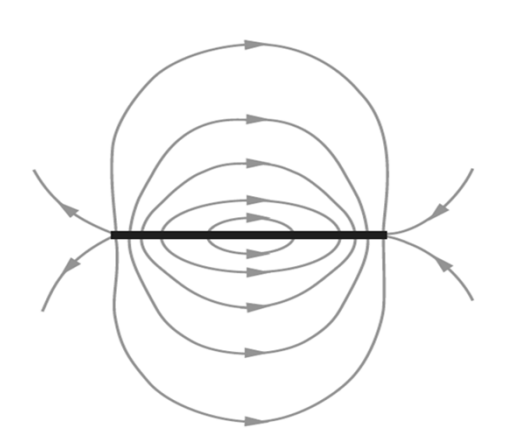
#### ullet Nel sistema inerziale S'





ullet Nel sistema inerziale S



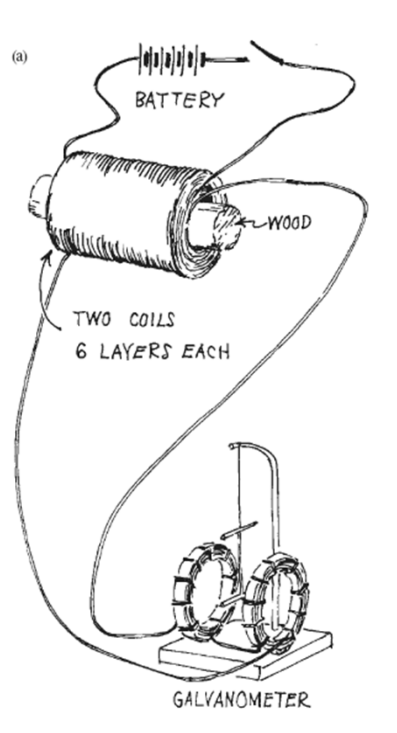


## La scoperta di Faraday

- Ricordiamo la scoperta di Oersted del 1820 sulla generazione di forze magnetiche con le correnti elettriche
  - Dopo questa scoperta parte una intensa attività sperimentale e teorica
  - Fra le altre cose si cercano nelle correnti fenomeni analoghi a quelli classificati come "induzione elettrostatica"
    - Si cerca di capire se le correnti possono "indurre" correnti
- Pioniere di questi studi fu Michael Faraday, intorno al 1830
  - Inizialmente gli studi furono poco fruttuosi
    - Una corrente stazionaria circolante nel solenoide esterno NON induce una corrente in quello interno
  - Tuttavia una VARIAZIONE di corrente induce una corrente
    - Ad esempio all'apertura o alla chiusura dell'interruttore
- Con questi studi Faraday scopre l'importante fenomeno dell'induzione elettromagnetica
  - ullet Ci permetterà di completare l'equazione del rotore di  ${f E}$

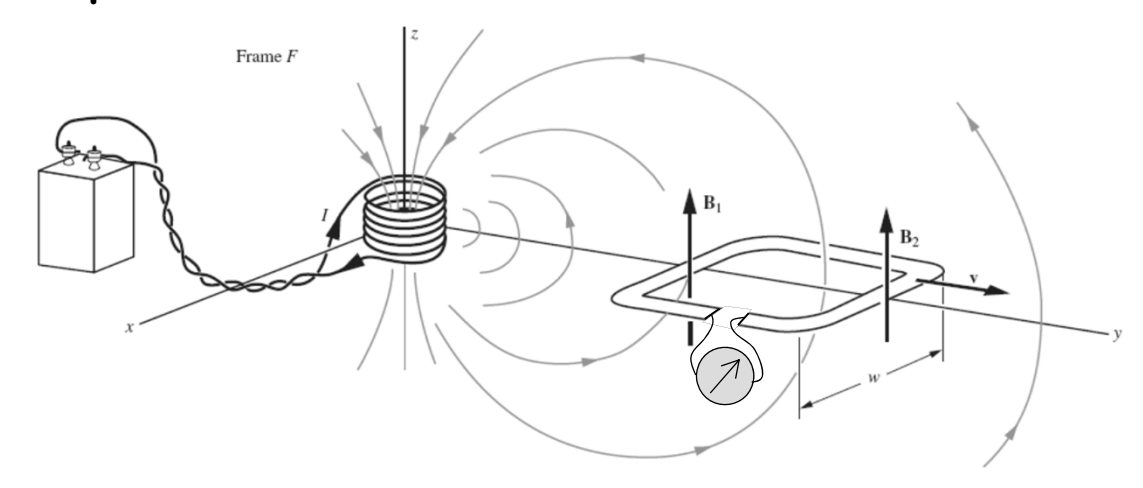
$$\mathbf{\nabla} \times \mathbf{E} = -\frac{\partial \mathbf{B}}{\partial t}$$

• Esaminiamo in maggiore dettaglio gli esperimenti condotti da Fraraday



## La scoperta di Faraday

- Esperimento n. 1
  - Supponiamo di avere un campo magnetico stazionario generato da un solenoide a riposo



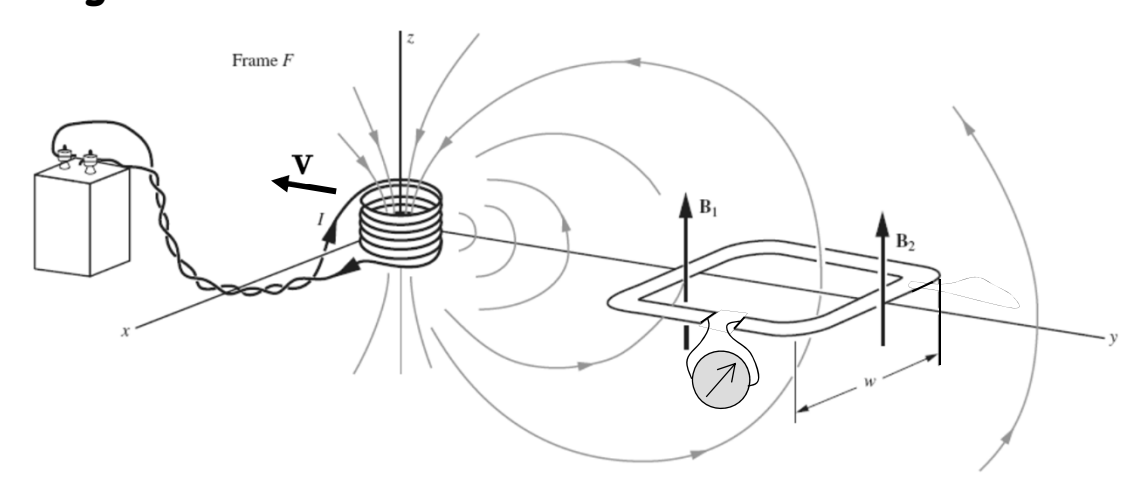
- Supponiamo di avere una spira composta da materiale conduttore che si muove nella regione in cui è presente il campo magnetico (non uniforme)
- Nella spira compare una forza elettromotrice

$$\mathcal{E} = -\frac{d\Phi}{dt}$$

• Notiamo che il campo magnetico concatenato con la spira cambia nel tempo

## Legge di Faraday

- Esperimento n. 2
  - Immaginiamo adesso che la spira sia ferma e che a muoversi sia la sorgente del campo magnetico



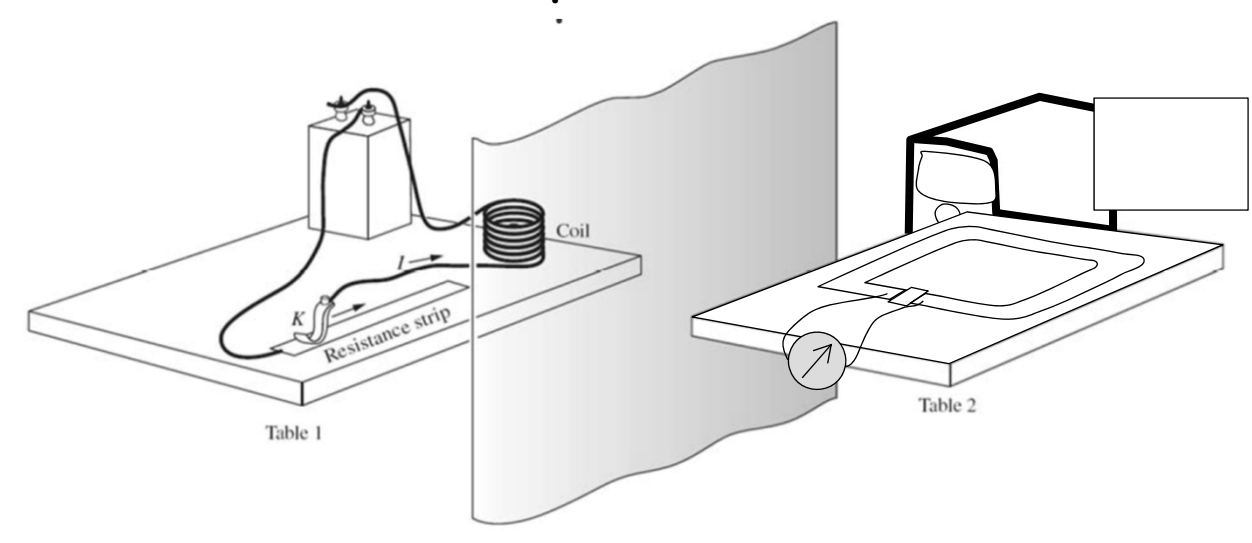
• Anche in questo caso il risultato dell'esperimento è che compare una forza elettromotrice nella spira

$$\mathcal{E} = -\frac{d\Phi}{dt}$$

- Osserviamo che anche in questo caso il campo magnetico concatenato con la spira cambia nel tempo
- Tuttavia la spira è ferma
- Possiamo immaginare che il principio di relatività ristretta metta in relazione questo esperimento con il precedente

## Legge di Faraday

• Per finire consideriamo un terzo esperimento



- In questo caso non c'è movimento
- La corrente nel solenoide viene fatta variare nel tempo
- ANCHE IN QUESTO CASO si sviluppa una forza elettromotrice nella spira

$$\mathcal{E} = -\frac{d\Phi}{dt}$$

- Questo esperimento è differente dai precedenti
  - Non si può pensare ad un cambio dei sistemi di riferimento

## La legge di Faraday

- La grande intuizione di Faraday è che tutti e tre gli esperimenti possono essere spiegati con una unica legge
  - Faraday pone l'enfasi sul flusso del campo magnetico concatenato con la spira
  - In tutti e tre i casi il flusso varia nel tempo
    - Nel primo caso la spira si muove e il flusso calcolato a tempi diversi varia
    - Nel secondo caso la spira è ferma ma la sorgente si muove e il flusso concatenato con la spira varia nel tempo
    - $\bullet$  Nel terzo caso non c'è movimento ma il flusso varia nel tempo perché varia la corrente nel solenoide, e di conseguenza varia  ${\bf B}$
- Faraday scopre che in tutti e tre i casi la forza elettromotrice che compare nella spira è

$$\oint_{spira} \mathbf{E} \cdot d\mathbf{l} = \mathcal{E} = -rac{d\Phi}{dt}$$

- Vedremo che è una legge molto complicata da capire e interpretare
  - Contiene due leggi fondamentali diverse
- Faraday la scopre nel 1831
  - Non è stata formulata la relatività ristretta (1905)
  - Non è stata formulata la legge della forza di Lorentz (1895)
    - Maxwell intuisce che si tratta di due leggi nel 1865

## Spira in campo non uniforme

- ullet Consideriamo una spira conduttrice rigida di lato w che si muove con velocità v lungo l'asse y (esperimento n. 1)
  - ullet La coordinata y del lato 3 è data da y(t)=vt
- $\bullet$  Supponiamo un campo magnetico  ${\bf B}$  dato dalla equazione  ${\bf B}(y)=B_0\,\frac{y}{\tau}\,\hat{\bf e}_z \quad {\bf L} \ \hat{\bf e} \ {\rm una} \ {\rm lunghezza} \ {\rm costante} \ {\rm nota}$ 
  - ullet Il flusso concatenato al tempo t è

$$\begin{split} \Phi(t) &= \int_{S} \mathbf{B} \cdot \hat{\mathbf{n}} da \ = B_{0} w \int_{y(t)}^{y(t)+w} \frac{y}{L} dy \\ &= B_{0} \frac{w}{2L} \Big[ (y+w)^{2} - y^{2} \, \Big] = B_{0} \frac{w}{2L} \Big[ 2yw + w^{2} \, \Big] = B_{0} \frac{w^{2}}{2L} \Big[ 2vt + w \, \Big] \end{split}$$

• Secondo la legge di Faraday la forza elettromotrice è

$$\mathcal{E} = -\frac{d\Phi}{dt} = -B_0 \frac{w^2}{2L} \frac{d}{dt} \left[ 2vt + w \right] = -B_0 \frac{w^2}{2L} 2v \qquad \qquad \mathcal{E} = -B_0 \frac{w^2}{L} v$$

ullet Per un confronto con le considerazioni seguenti calcoliamo la differenza fra il campo B sui lati 1 e 3 ad un generico tempo t

$$B(y_1) - B(y_3) \equiv B_1 - B_3 = B_0 \frac{vt + w}{L} - B_0 \frac{vt}{L} = B_0 \frac{w}{L}$$

• In definitiva

$$\mathcal{E} = (B_3 - B_1)wv$$

 $\mathbf{E} = 0$ 

S

## Spira in campo non uniforme

- Interpretiamo il fenomeno alla luce delle leggi che conosciamo
  - ullet Supponiamo che la spira sia vincolata a muoversi lungo y
  - Inoltre, supponiamo inizialmente campo B uniforme
  - C'è la componente magnetica della forza di Lorentz
    - ullet Sulle cariche all'interno dei lati paralleli all'asse y ( lati 2 e 4 ) si esercitano forze perpendicolari al filo che si elidono



- Le cariche nel conduttore raggiungono una condizione di equilibrio
- I due lati della spira si caricano positivamente e negativamente
  - Ricordiamo l'esempio della barretta in movimento (vedi diapositiva 212)
- ullet Immaginiamo adesso che il campo magnetico non sia uniforme lungo la direzione y anche se  $\dot{\mathbf{e}}$  costante nel tempo
  - ullet Calcoliamo la circuitazione della forza magnetica al tempo  $t \; [ \; y = y(t) \; ]$ 
    - La forza è perpendicolare al cammino lungo i lati 2 e 4

$$\oint_{C} \mathbf{F} \cdot d\mathbf{l} = \int_{l1} \mathbf{F} \cdot d\mathbf{l} + \int_{l2} \mathbf{F} \cdot d\mathbf{l} + \int_{l3} \mathbf{F} \cdot d\mathbf{l} + \int_{l4} \mathbf{F} \cdot d\mathbf{l} \qquad \qquad \mathbf{F}(y) = q\mathbf{v} \times \mathbf{B}(y)$$

$$= \int_{l1} \mathbf{F} \cdot d\mathbf{l} + \int_{l3} \mathbf{F} \cdot d\mathbf{l} = -qvB_{1}w + qvB_{3}w \qquad B_{1} = B(y_{1}) \qquad B_{3} = B(y_{3})$$

 $\mathbf{E} = 0$ 

S

 $\mathbf{F} = a\mathbf{v} \times \mathbf{B}$ 

## Spira in campo non uniforme

$$\oint_C \mathbf{F} \cdot d\mathbf{l} = -qv B_1 w + qv B_3 w = qw (B_3 - B_1) v$$

- Viene compiuto un lavoro sui portatori di carica del conduttore della spira
  - Il lavoro viene fatto sulla corrente elettrica che è stata provocata dalla forza di Lorentz
  - Nella spira è presente una forza elettromotrice

$$\mathcal{E} = \frac{1}{q} \oint_{C} \mathbf{F} \cdot d\mathbf{l} = w \left( B_{3} - B_{1} \right) v$$

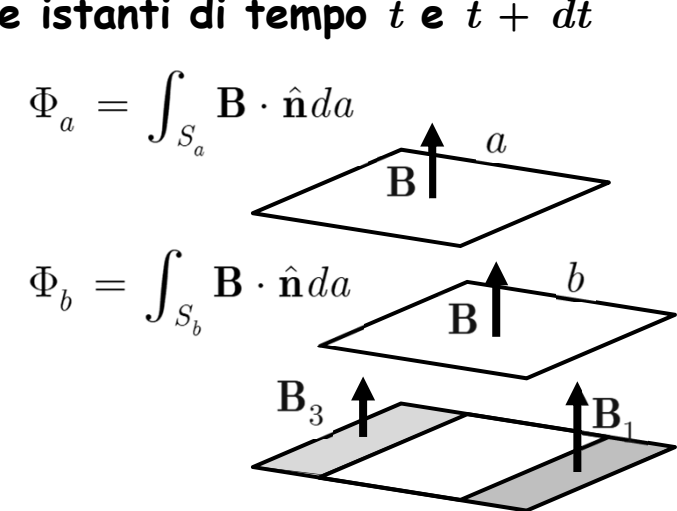


- attraverso la superficie della spira ullet Consideriamo due posizioni a e b della spira a due istanti di tempo t e t+dt
  - Il flusso del campo magnetico è
  - Calcoliamo la variazione del flusso

$$\begin{split} d\Phi &= \Phi_b - \Phi_a = B_1 w v dt - B_3 w v dt \\ &= w \left( B_1 - B_3 \right) v dt = -w \left( B_3 - B_1 \right) v dt \qquad \Phi_b = \int_S \mathbf{B} \cdot \hat{\mathbf{n}} da \end{split}$$

ullet Confrontando con l'espressione per  ${\mathcal E}$ 

$$d\Phi = -\mathcal{E}dt \qquad \qquad \mathcal{E} = -\frac{d\Phi}{dt}$$



S